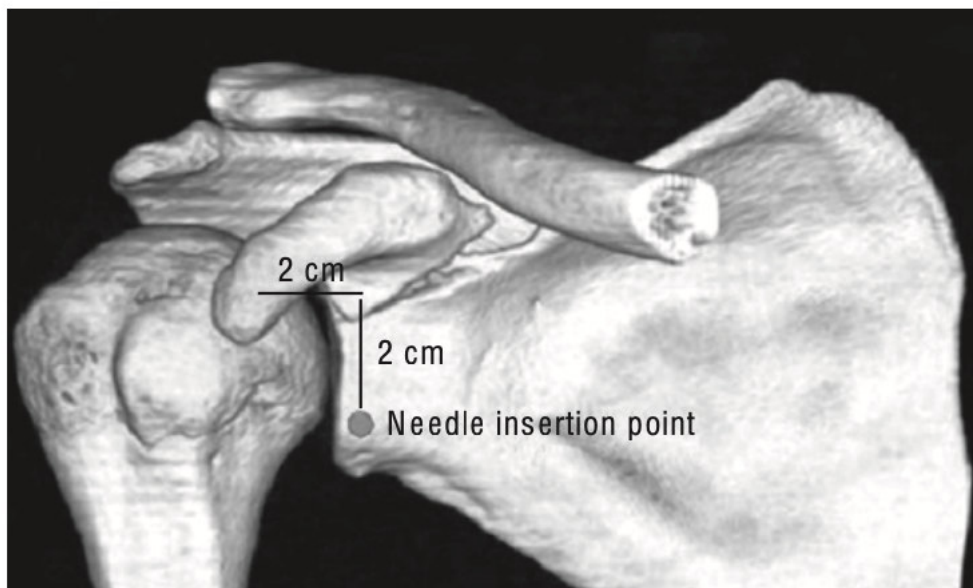


Residência Médica em Cirurgia da Mão - concurso 2023-2024.

- 1) Em relação à técnica anestésica para o membro superior, o ponto de inserção da agulha (“needle insertion point”) assinalado na imagem a seguir corresponde ao bloqueio



- a) axilar.
- b) subcoracóide.
- c) Interescaleno.
- d) infraclavicular.
- e) supraclavicular.

- 2) Em relação à infecção da região da ponta do dedo, a estrutura anatômica que possui mais alta resistência local à infecção é

- a) a eponíquia.
- b) a hiponíquia.
- c) a paroníquia.
- d) o leito ungueal.
- e) a matrix germinativa.

3) O tratamento de escolha para o quadro agudo de FELON no polegar é a drenagem cirúrgica utilizando um acesso

- a) volar e dorsal e antibiótico tópico.
- b) radial e antibiótico oral por 5 a 7 dias.
- c) ulnar e antibiótico oral por 5 a 7 dias.
- d) ulnar e antibiótico venoso por 5 a 7 dias.
- e) radial e antibiótico venoso por 5 a 7 dias.

4) Em relação à anatomia do espaço de PARONA é correto afirmar que este

- a) tem comunicação com o espaço mediocarpal.
- b) não tem comunicação com espaço mediocarpal.
- c) localiza-se na fascial profunda abaixo do pronador quadrado.
- d) localiza-se na superfície entre o flexor superficial e profundo dos dedos.
- e) localiza-se na região volar do antebraço e comunica-se diretamente com a bainha flexora do dedo indicador.

5) Na enfermidade de DUPUYTREN , o estágio III de LUCK(fase residual) apresenta uma proporção entre o colágeno III e o colágeno I (III / I) é de aproximadamente

- a) 75%.
- b) 55%.
- c) 45%.
- d) 35%.
- e) 20%.

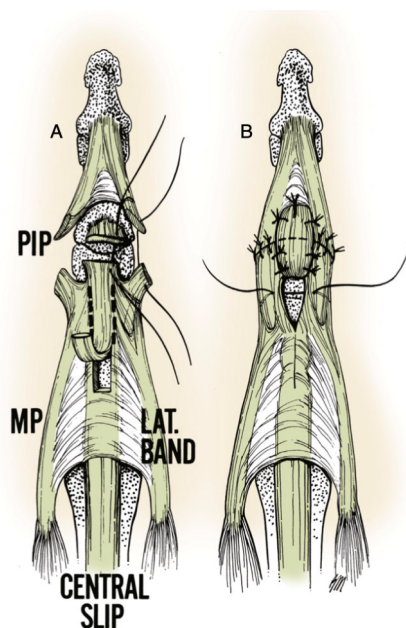
6) Em relação à lesão fechada do dedo em martelo, a fratura articular com fragmento ósseo de 30% da articulação corresponde à classificação de DOYLE do tipo IV

- a) A.
- b) B.
- c) C.
- d) D.
- e) E.

7) Em relação ao exame clínico da deformidade da articulação interfalangeana proximal é realizado o teste de flexão ativa de

- a) SMITH na deformidade de dupuytren..
- b) ELSON na deformidade de dupuytren.
- c) SMITH na deformidade da mão reumatoide.
- d) ELSON na deformidade da mão reumatoide.
- e) ZANCOLLI na deformidade em garra na hanseníase.

8) A técnica cirúrgica de reconstrução do aparelho extensor para tratamento da deformidade em botoeira aguda, demonstrada na imagem a seguir, é descrita por



- a) SNOW.
- b) AIACHE.
- c) LITTLER.
- d) KLEINERT.
- e) BUNNELL.

9) Na lesão corto-contusa do tendão flexor longo do polegar na zona 2 de VERDAN, o coto proximal localiza-se frequentemente na região

- a) interfalangeana.
- b) da polia oblíqua.
- c) da região tenar.
- d) do espaço de PARONA.
- e) proximal ao túnel do carpo.

10) Na técnica de PANEVA-HOLEVICH para reconstrução da lesão crônica do tendão flexor utiliza com enxerto o tendão do

- a) plantar delgado.
- b) palmar delgado.
- c) flexor radial do carpo..
- d) flexor profundo dos dedos.
- e) flexor superficial dos dedos .

11) A complicação cirúrgica mais comum da técnica de reconstrução tendinosa flexora utilizando enxerto de tendão é :

- a) ruptura.
- b) necrose.
- c) aderência.
- d) efeito quadriga.
- e) síndrome de PARKES.

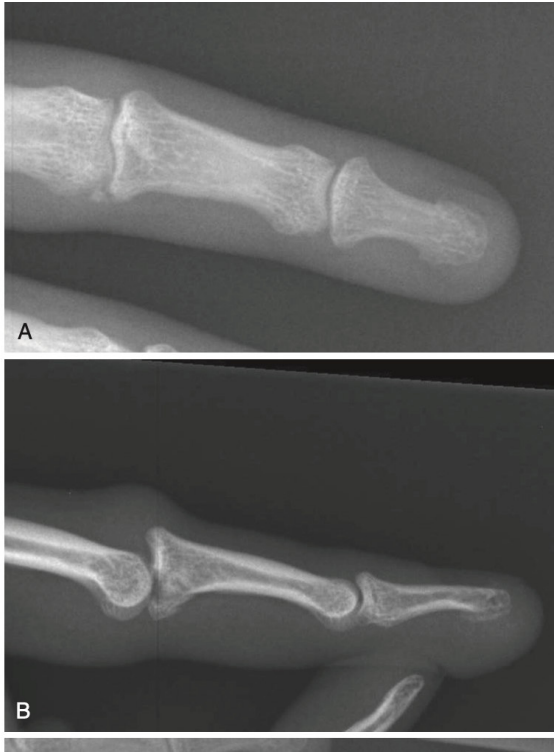
12) A complicação mais comum no tratamento da fratura com desvio articular da cabeça do metacarpo é

- a) rigidez.
- b) necrose.
- c) instabilidade.
- d) dedo em garra.
- e) dedo em gatilho.

13) Na tenossinovite infecciosa flexora aguda , segundo PANG, corresponde a um fator de mau prognóstico abaixo

- a) o sexo feminino.
- b) a imunodeficiência.
- c) a infecção polimicrobiana.
- d) a idade menor que 20 anos.
- e) o acometimento de mais de um dedo.

14) Em relação à fratura-luxação da interfalangeana proximal do dedo , o mecanismo de lesão que ocorre na imagem a seguir é a



- a) hiperflexão.
- b) desvio lateral.
- c) hiperextensão.
- d) compressão axial e leve flexão.
- e) compressão axial e desvio lateral.

15) A fratura de SEYMOUR na criança está associada à lesão descrita por SALTER-HARRIS do tipo :

- a) I.
- b) II.
- c) III.
- d) IV.
- e) V.

16) O tratamento de escolha para a lesão aguda de STENER associada a fragmento ósseo que corresponda a 10% da superfície articular e encontra-se inserido no ligamento colateral ulnar do polegar é :

- a) tratamento não-cirúrgico.
- b) fixação óssea com miniparafuso.
- c) fixação óssea com fios de kirschner.
- d) fixação óssea com miniplaca e parafuso.
- e) ressecção do fragmento e reinserção com miniâncora.

17) Em relação à biomecânica da articulação carpometacarpeana do polegar, o ligamento oblíquo anterior está tenso em:

- a) pronação, adução e flexão do primeiro raio
- b) supinação, adução e flexão do primeiro raio.
- c) pronação, abdução e extensão do primeiro raio.
- d) supinação, abdução e extensão do primeiro raio.
- e) neutro, abdução e desvio lateral do primeiro raio.

18) Na incidência radiográfica de ROBERT , a imagem a seguir demonstra um quadro de rizartrose classificada por EATON como estágio :



- a) I.
- b) IIA.
- c) III.
- d) IV.
- e) V.

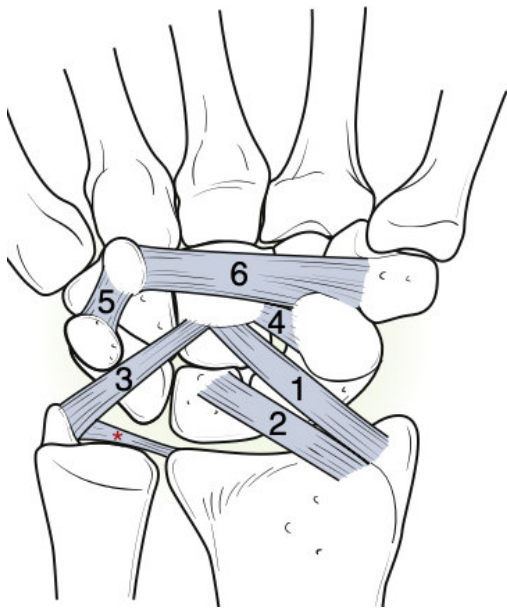
19) A técnica de artroplastia trapeziometacarpeana do polegar que reconstrói o ligamento oblíquo anterior e intermetacarpeano, descrita por WEILBY, utiliza como enxerto o tendão

- a) palmar longo.
- b) flexor radial do carpo
- c) extensor radial do carpo.
- d) abductor curto do polegar.
- e) abductor longo do polegar.

20) Em relação à complicação da artrodese total do punho, a liberação cirúrgica do túnel do carpo é necessária nesses pacientes em aproximadamente:

- a) 27%.
- b) 37%.
- c) 47%.
- d) 57%.
- e) 67%.

21) Em relação à anatomia ligamentar do punho , na imagem a seguir o número 6 corresponde ao ligamento



- a) arqueado.
- b) pisohamato.
- c) intercarpal dorsal.
- d) intercarpal palmar.
- e) transverso retinacular.

22) A luxação perissemilunar do carpo não é diagnosticada no primeiro atendimento da emergência em aproximadamente

- a) 5% dos casos.
- b) 25% dos casos.
- c) 35% dos casos.
- d) 50% dos casos.
- e) 75% dos casos.

23) Em relação aos estágios da instabilidade escafossemilunar descrita por GARGIA-ELIAS , na dissociação escafossemilunar com subluxação rotatória do escafoide redutível e cartilagem íntegra corresponde ao estágio IV e está indicada a técnica de

- a) pinagem aberta.
- b) reparo ligamentar.
- c) pinagem artroscópica.
- d) tenodese triligamentar.
- e) artrodese em quadro cantos.

24) Na classificação de MATHES & NAHAI, o retalho muscular que possui dois pedículos dominantes (tipo III) é o do músculo

- a) grácil.
- b) grande dorsal.
- c) paraescapular.
- d) tensor da fascia lata.
- e) glúteo máximo.

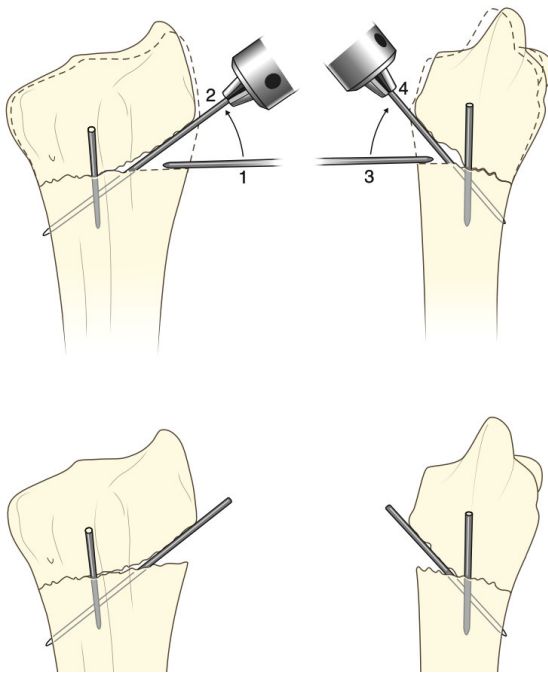
25) A lesão aguda traumática da borda radial (fosseta sigmóidea) da fibrocartilagem triangular é classificada por PALMER como classe :

- a) 1 B.
- b) 1 C.
- c) 2 C.
- d) 1 D.
- e) 2 D.

26) Em relação à anatomia marginal volar do rádio, a região denominada gota de lágrima (“teardrop”) mede , em sua maior largura , aproximadamente

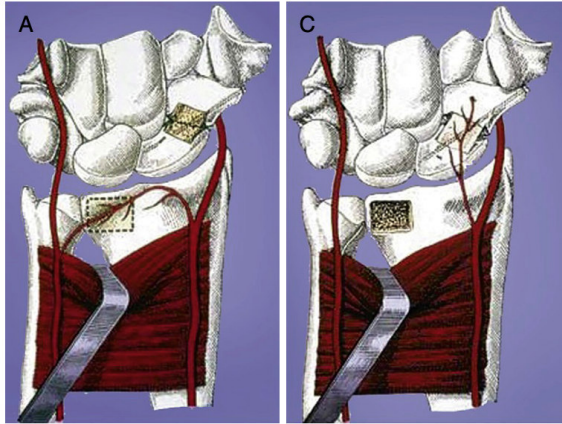
- a) 5 mm.
- b) 7 mm.
- c) 9 mm.
- d) 10 mm.
- e) 12 mm.

27) A técnica cirúrgica para fixação da fratura da extremidade distal do rádio demonstrada na imagem a seguir foi descrita por



- a) STEIN.
- b) LISTER.
- c) DE PALMA.
- d) RAYHACK.
- e) KAPANDJI.

28) A técnica cirúrgica para o tratamento da necrose do polo proximal associada à pseudartrose do escafoíde que utiliza o pedículo baseado no ramo volar da artéria radial na imagem a seguir foi descrita por:

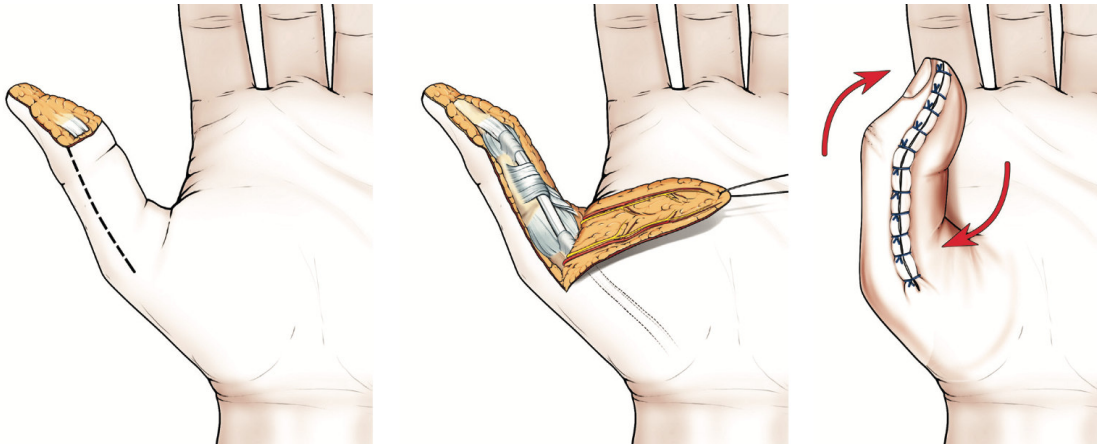


- a) BERGER.
- b) FERNANDEZ.
- c) MATHOULIN.
- d) SOTERANOS.
- e) ZAIDEMBERG.

29) São fatores de risco para a doença de KIENBOCK , a forma do semilunar classificada como :

- a) I de ZAPICO e I de VIEGAS.
- b) I de ZAPICO e II de VIEGAS.
- c) II de ZAPICO e I de VIEGAS.
- d) II de ZAPICO e II de VIEGAS.
- e) III de ZAPICO e III de VIEGAS.

30) O retalho para cobertura da lesão da polpa do polegar demonstrado na imagem a seguir corresponde à técnica de



- a) KITE.
- b) SNOW.
- c) LITTLER.
- d) MOBERG.
- e) O'BRIAN.

31) Ao exame físico de um paciente com sinal de EGAWA e DUCHENNE positivos sem alteração sensitiva, o sítio de compressão do nervo acometido é no canal de :

- a) zona I do canal de GUYON.
- b) zona II do canal de GUYON.
- c) zona III do canal de GUYON.
- d) zona IV do canal de GUYON.
- e) zona IIIB do canal de GUYON.

32) Em relação à técnica de artroscopia do punho, a melhor visualização do complexo da fibrocartilagem triangular e do orifício pisotriquetal é obtida através do portal

- a) 3-4.
- b) 4-5.
- c) 6 R.
- d) 6 U.
- e) MCU.

33) O teste considerado padrão ouro para o diagnóstico da HANSENÍASE é

- a) a lepromina.
- b) a biópsia de pele.
- c) a biópsia nervosa.
- d) o esfregaço de pele.
- e) dos monofilamentos.

34) Em relação à tenossinovite causada pela pseudogota , a localização mais comum do depósito de cristais de pirofosfato de cálcio é na região

- a) do espaço radiocarpal.
- b) do espaço mediocarpal.
- c) da fibrocartilagem triangular.
- d) do ligamento escafossemilunar.
- e) do ligamento semilunopiramidal.

35) A manobra provocativa mais sensível e específica para o diagnóstico clínico da síndrome do desfiladeiro torácico foi descrita por

- a) ROOS.
- b) PHALEN.
- c) WRIGHT.
- d) SANDERS.
- e) HALSTED.

36) Em relação à anatomia , a função principal do músculo braquiorradial é a

- a) flexão do antebraço.
- b) supinação do punho.
- c) extensão do cotovelo.
- d) pronação do antebraço.
- e) supinação do antebraço.

37) A substância responsável pelo desenvolvimento do centro da crista ectodérmica apical na embriologia do membro superior é :

- a) o Lmx-1
- b) o fator de transcrição.
- c) a proteína sonic hedgehog.
- d) a proteína de transcrição sonic.
- e) o fator de crescimento fibroblástico.

38) O local mais comum de acometimento da braquidactilia é na região da

- a) falange média.
- b) falange proximal.
- c) extremidade distal do radio.
- d) metáfise distal do metacarpeano.
- e) metáfise proximal do metacarpeano.

39) A mão torta ulnar é associada às seguintes anormalidades musculoesqueléticas

- a) deficiência fibular, focomelia e escoliose congênita.
- b) deficiência tibial, focomelia e cifose congênita progressiva.
- c) deficiência tibial, deficiência femoral e escoliose congênita.
- d) deficiência fibular, deficiência tibial e cifose congênita progressiva.
- e) deficiência tibial, deficiência femoral proximal e hiperlordose congênita.

40) Em relação aos ossos do carpo no punho da criança, os primeiros centros de ossificação que aparecem são no

- a) hamato e capitato
- b) capitato e escafóide.
- c) escafóide e semilunar.
- d) semilunar e piramidal.
- e) piramidal e hamato.

41) Em relação aos tumores da mão, na ressonância magnética no corte axial, a imagem em “favo de mel” é característica do

- a) neurofibroma.
- b) schwannoma.
- c) fibroma digital infantil.
- d) hamartoma lipofibromatoso.
- e) tumor de células gigantes de bainha.

42) O local mais comum de acometimento do sarcoma sinovial no membro superior é na região

- a) da falange média.
- b) da falange proximal.
- c) da metacarpo e carpo.
- d) da extremidade distal do radio.
- e) da extremidade proximal do rádio.

43) O carcinoma de células escamosas tem como lesão precursora

- a) a verruga vulgar.
- b) o dermatofibroma.
- c) a ceratose actínica.
- d) o nevus melanocítico.
- e) o granuloma piogênico.

44) O grau de queimadura da pele considerado o mais doloroso é o de

- a) primeiro grau.
- b) segundo grau superficial.
- c) segundo grau intermediário.
- d) segunda grau profundo.
- e) terceiro grau superficial.

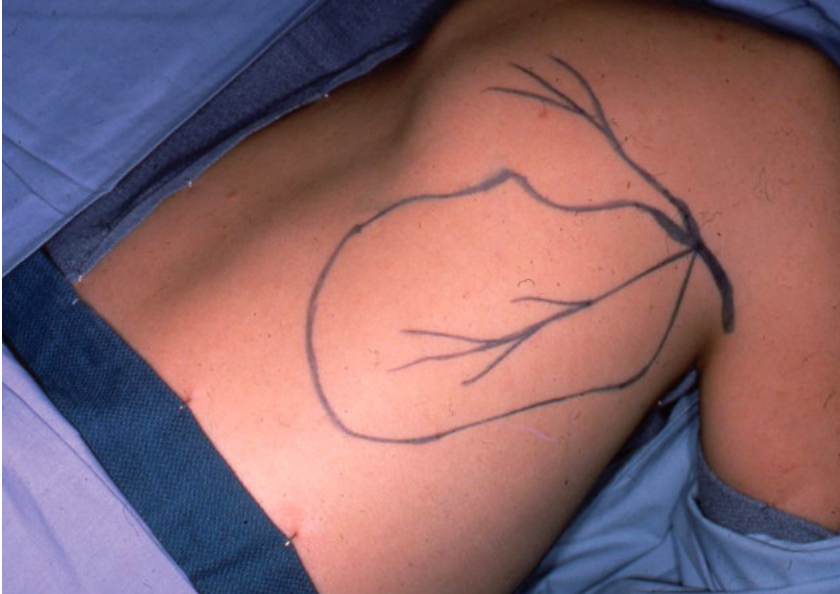
45) A lesão de MANNERFELT na artrite reumatóide ocorre devido ao atrito do tendão flexor longo do polegar com:

- a) a polia A1.
- b) a polia oblíqua.
- c) o estiloide radial.
- d) o retináculo flexor.
- e) a espícula do escafoide.

46) O retalho lateral do braço é baseado na artéria

- a) axilar.
- b) braquial profunda.
- c) radial lateral recorrente.
- d) radial colateral anterior.
- e) radial colateral posterior.

47) O retalho e a artéria demonstrados na imagem a seguir correspondem, respectivamente, ao



- a) grande dorsal e artéria ascendente da toracodorsal.
- b) grande dorsal e artéria descendente da toracodorsal.
- c) escapular e ramo descendente da circunflexa escapular.
- d) paraescapular e ramo transverso da circunflexa escapular.
- e) paraescapular e ramo descendente da circunflexa escapular.

48) Em relação ao tratamento cirúrgico das lesões traumáticas do plexo braquial , a técnica da neurotização clássica descrita inicialmente por LEECHAVENGVONGS baseia-se na transferência do ramo motor

- a) da cabeça lateral do tríceps para o ramo anterior do nervo axilar.
- b) da cabeça medial do tríceps para o ramo posterior do nervo axilar.
- c) da cabeça longa do tríceps para o ramo anterior do nervo axilar.
- d) da cabeça longa do tríceps para o ramo posterior do nervo axilar.
- e) da cabeça medial do tríceps para o ramo anterior do nervo axilar.

49) A formação do aneurisma da artéria ulnar por mecanismo de traumas repetitivos está relacionado com a lesão

- a) endotelial.
- b) trombótica.
- c) da lâmina elástica interna.
- d) da camada adventícia interna.
- e) da camada adventícia externa.

50) Durante uma sutura arterial termino-terminal entre vasos de calibres diferentes, uma técnica cirúrgica possível para o conseguir fazer o reparo é realizar na artéria de menor diâmetro uma incisão angulada de aproximadamente em

- a) 15° de angulação.
- b) 30° de angulação.
- c) 45° de angulação.
- d) 60° de angulação.
- e) 90° de angulação.